

防衛府技本4研 正員 ○ 松尾啓
防衛大学校 正員 大平至徳
防衛大学校 正員 山口晴幸

くまえさき

土の圧縮特性を把握する際に、一般に、実際地盤と室内試験での圧密条件が異なるため、供試体厚さ、荷重載荷期間、荷重増加率等の各種試験パラメーターを変化させた報告が多くなされている。

泥炭地盤では、二次圧密が顕著に起り、その圧密特性を検討するには、特に、二次圧密特性の究明が重要となる。本文は、室内圧密試験結果に基づき、上述した3つ(試験パラメーター)が、泥炭の二次圧密係数における影響について記述したものである。

2. 試料および試験

(1) 試料 用いた試料は、北海道札幌市郊外の泥炭地で採取(深度0.5~1.0m)した不搅乱の纖維質泥炭である。その代表的諸性質は、比重 $\gamma_s = 1.48 \sim 1.49$ 、初期含水比 $W_0 = 550 \sim 720\%$ 、初期間隙比 $C_0 = 9.05 \sim 11.4$ 、強熱減量値 $L_d = 93 \sim 94\%$ であった。 L_d 値が50%未満のよう、試料を構成している大部分は、植物纖維性有機物である。

(2) 試験 標準圧密試験装置を用いて、3種類の試験を実施した。

i) SO試験: 標準圧密試験(供試体厚さ $H_0 = 2\text{cm}$ 、荷重増加率 $n = 1$)

ii) SIL試験: 所定の圧密荷重を一等分載荷3等分荷載試験。

所定の荷重として、0.2, 0.4, 0.8, 1.6, 3.2kg/6.4kgなどとした。

iii) H-T試験: 供試体厚さ($H_0 = 1\text{cm}$ と 2cm)と各段階での荷重載

荷期間($t_e = 1\text{d} \times 7\text{d}$)と荷重増加率($n = 0.3 \sim 3$)

を各組合せた試験。表-1はH-T試験での試験条件を、表-2は各種荷重増加率で採用した圧密荷重(P)の変化を示す。

3. 試験結果と考察

(1) 圧密に伴う二次圧密係数の変化

粘性土の二次圧密領域で示す沈下は時間の対数に比例して生じると言われており、二次圧密挙動を表わす尺度として二次圧密係数を用いられている。泥炭においても対数時間にほぼ比例して沈下を継続する傾向が見られることがあり、ここでは各荷重段階から得られた圧密後半部での

間隙比(e)~対数時間($\log t$)直線の勾配($-e/4\ln t$)として二次圧密係数(Q)を定義する。

図-1~4は、各種の試験条件下で得られた Q 値を圧密荷重(P)との関係でプロットしたもので、圧密に伴う二次圧密係数の変化を示したものである。

図-1と2は供試体厚さ($H_0 = 1\text{cm}$ と 2cm)の場合で、各荷重段階での載荷期間(t_e)を1日に固定して荷重増加率(n)を0.3~3の範囲で変化させた結果で、図-3は標準圧密(SO)試験と単荷重載荷(SIL)試験による結果である。また図-4の結果は

図-1の試験と同様であるが、 $t_e = 7\text{d}$ とした場合である。いずれの試験結果も圧密に伴って Q 値は増加した後減少し、ピーク値を取る山形の傾向を示す。 Q 値が減少し始める圧密荷重は、未液化(unloading)圧密域と液化圧密域の境界を示す圧密降伏荷重(P_c)ほぼ2~3倍付近の荷重に対応していた。また図-1に示すように、

試験番号	層厚(H) cm	載荷期間 (t_e) day	荷重増加率 (n)	初期間隙比 (e)
H-T-1	2	7	0.5 ~ 0.3	9.78
H-T-2	2	7	1	9.80
H-T-3	2	1	3	9.80
H-T-4	2	1	1	10.5
H-T-5	1	1	3	11.4
H-T-6	1	1	1	9.71
H-T-7	2	7	3	9.71
H-T-8	2	1	0.5 ~ 0.3	9.05
H-T-12	1	1	0.5 ~ 0.3	9.45

表-1 H-T試験での試験条件

荷重増加率 (n)	圧密荷重(P) Kgf/cm ²	表-2 圧密荷重	
		0.1	0.5~0.3
0.5~0.3	0.1 → 0.15 → 0.2 → 0.4 → 0.6 → 0.8 → 1.2 (左下へ続く)	→ 1.6 → 2.4 → 3.2 → 4.8 → 6.4 → 9.6 → 12.8	
1	0.1 → 0.2 → 0.4 → 0.8 → 1.6 → 3.2 → 6.4 → 12.8		
3	0.1 → 0.4 → 1.6 → 6.4		

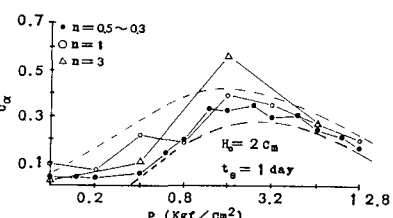


図-1 二次圧密係数と圧密荷重の関係

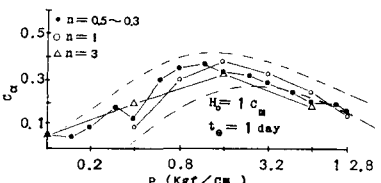


図-2 二次圧密係数と圧密荷重の関係

C_a - P 関係は、荷重増加率(n)の影響

をほとんど受けない。このことは図-3に

示す、いわば $n=0$ とみなせる単一荷重載

荷(SIL)試験結果がも裏付けられる。

さらに、図-1と2に示す供試体厚さ1cmと

2cmの場合の試験結果を対比みると、図-3 SO試験、SIL試験の C_a - P 関係。

この程度の供試体厚さの違いでは、厚さの相違による二次圧密係数の明確な差異は認められなかった。

上述の本試験結果は、網干²⁾、Mesri³⁾による粘土や有機粘土に関する結果と極めて類似している。

泥炭は他の土に比較して、二次圧密の進行が著しく、各荷重段階での載荷期間(t_e)が長期である。

れば、大きな擬似先行圧密荷重(P_0)が発達し、その応力状態は容易に過圧密状態に移行すると

考えられる。そのため、二次圧密係数は載荷期間の長短によってより影響されることが推測される。

著者ら⁵⁾は、他の泥炭試料についての長期載荷($t_e = 20$ 日、30日)圧密試験によると、 t_e の増大に

伴って、 C_a 値が低下することを報告した。(しかし、図-4に示す $t_e = 7$ 日の場合の本試験結果によると

圧密荷重 $P > 3.2$ kg/cm²で成る $t_e = 1$ 日の場合(図-1参照))に比較して、 C_a 値が多少小さな値を示す)。

このように、載荷期間の相違により生じる二次圧密係数の差異は明瞭に認められなかった。

(2) 二次圧密係数と圧縮指指数との関係

図-5に示すように、泥炭の $e \sim \log P$ 曲線は、必ず圧密域においても、直線として近似

できず、一定の圧縮指指数 C_c を定義するのが困難である。ここでは、各圧密荷重 P での $e \sim \log P$ 曲線の勾配として、

圧縮指指数 ($C_c = \Delta e / \Delta \log P$) を定義し、その荷重での C_c 値との関係をプロットしたのが図-6~8である。

多少はつきはあるが、泥炭においても C_c は C_a と比例関係にあるとみなせ、粒性土や有機質粒性土について報告されている Mesri⁴⁾ や安川⁷⁾の結果と同様に整理することができる。また C_a - C_c 関係直線の

勾配は、0.052~0.059 の範囲にあり、各試験条件下ではなく等しい値を示し、

圧密時の試験条件によってほとんど左右されないことがわかる。

表-3 各種土質の C_c 、 C_a 及び C_a/C_c 値

なお、代表的研究者によるこの勾配の値を示したのが表-3である。

これによると、纖維質有機物を多量に含み高い圧縮性

である泥炭では、粘性土に比較して、二次圧密係数が10倍

程度になる場合もあるが、かくわらず、 C_c 値には、それほど

大きさの相違を認められない。

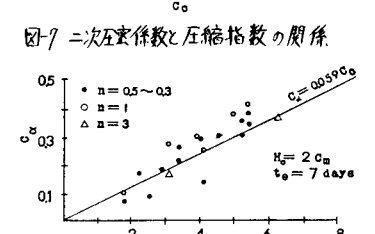
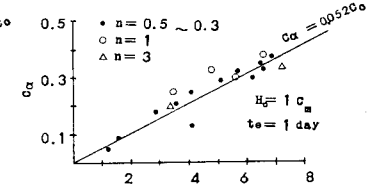
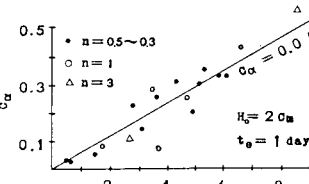
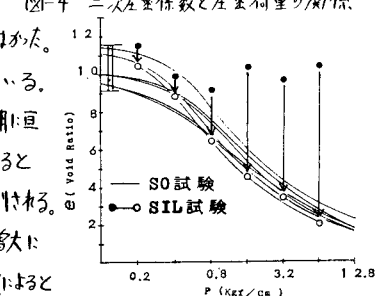
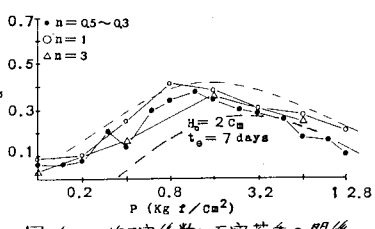
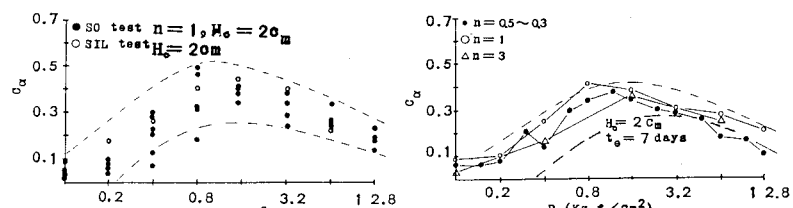
4. まとめ 泥炭の圧密圧密域で示す二次圧密係数は圧密に伴い減少し、荷重増加率の影響を受けながら、

供試体厚さ及び載荷期間の長短によって二次圧密係数に明確な相違は認められなかった。

泥炭と粘土では二次圧密係数は異なるが、粘土と同様、泥炭の二次圧密係数も圧縮指指数と比例関係にあるとみなせ、その関係直線の勾配は、粘土のものと大きな差異はない。

5. 参考文献 1) 大平・佐野(1979); 土と基礎 16, 27~67, P81 2) 網干(1974); 第19回国賃工学シンポジウム発表論文集 1111~118.

3) Mesri(1973); A.S.C.E. 16, 99~106, SM1, PP123~137 4) 赤井・佐野(1981); 土木学会論文報告集, 316, P167 5) 松尾・大平・4.0(1983); 土木学会第38回国講演概要集, P485 6) Mesri et al (1977); A.S.C.E. 16, 103, MGT5, PP417~430 7) 安川(1983); 第18回国賃工学研究発表会講演集 P213~216 8) Graham et al (1983); Geotechnique 33, No. 3, 329~340 9) 大平5(1982); 第19回国賃工学研究発表会講演集, P. 205~208



Soil	W_n (%)	C_a	C_c	C_a / C_c	Reference
Mexicocityclay	421~574	0.2~0.6	0.02~0.32	0.03~0.035	Omura ⁶⁾
Ledaclay	826~89.5	0.2~2.0	0.001~0.06	0.025~0.04	Omura ⁶⁾
Beltastclay	60~80	0.2~0.9	0.01~0.045	0.05	J.Graham ⁸⁾
Arikaceclay	107	0.05~1.4	0.003~0.065	0.043	Yasukawa ⁷⁾
Toyosakaclay	66~15	0.08~0.7	0.004~0.03	0.041	Yasukawa ⁷⁾
Oomiyapeat	315~524	1~5	0.05~0.21	0.04	Ohira ⁹⁾